

การวิเคราะห์พารามิเตอร์ การจำลองระบบทางความร้อน และการเปรียบเทียบผลกับงานจริงในอุตสาหกรรม “กรณีศึกษา ระบบต้นกำลังผลิตไอน้ำ”

Parameter Analysis, The Simulation of Thermal System and Real Site

Comparison with Industrial Case Study: Steam Generator System

เฉลิมพล เหลืองศรีนภา ธนาคม สุนทรชัยนาคแสง และ กมล ตราชกบูตร
ภาควิชาวิศวกรรมเครื่องกล คณะวิศวกรรมศาสตร์ สถาบันเทคโนโลยีพระจอมเกล้าพระนครเหนือ¹
เขตบางซื่อ กรุงเทพมหานคร 10800
โทร. (02) 913-2500 ต่อ 8319 , โทรสาร (02) 587-0026 , E-mail : tss@kmitlnb.ac.th

Chaloemphon Luangsirinapha Thanakom Soontornchainacksaeng and Kamol Talabut

Department of Mechanical Engineering, Faculty of Engineering, King Mongkut's Institute of Technology North Bangkok

Bangsue Bangkok 10800

Tel (02) 913-2500 Ext. 8319, Fax: (02) 587-0026

ນາກຄໍດຍ່ອ

งานวิจัยนี้ศึกษาและวิเคราะห์ระบบต้นกำลังผลิตไวน้ำให้สามารถนำผลลัพธ์ความร้อนจากฟลู๊ก้าชากลับมาใช้ประโยชน์ให้สูงสุด ซึ่งจากการวิเคราะห์ที่ 4 ประการ พบว่า ประการที่ 1 การนำความร้อนจากฟลู๊ก้าชาที่ปล่อยทิ้งนำกลับมาถ่ายเทความร้อนให้กับน้ำเลี้ยงหม้อไอน้ำ โดยผ่านเครื่องแลกเปลี่ยนความร้อนชนิดท่อสองชั้นแบบไฮดรอลิกทางกันพบว่า สามารถที่จะเพิ่มประสิทธิภาพของหม้อไอน้ำจาก 76.9 % เป็น 84.5 % และสำหรับการไฮดรอลิกกัน พบว่าสามารถที่จะเพิ่มประสิทธิภาพหม้อไอน้ำจาก 76.9 % เป็น 83.1 % ประการที่ 2 การวิเคราะห์ระบบการเผาให้มีข้องเชื้อเพลิงภายใต้หม้อไอน้ำ พบว่าจำนวนเชื้อเพลิงที่ใช้ในการวิเคราะห์ เชื้อเพลิง ก๊าซเอทิลีนให้ค่าความร้อนสูงที่สุด ส่วนเชื้อเพลิงก๊าซเมทานให้ค่าความร้อนน้อยที่สุดและเมื่อปรับปริมาณอากาศส่วนเกินที่ใช้ในการเผาใหม่ พบว่าเมื่อบริษณาอากาศส่วนเกินเพิ่มขึ้น 10 % ทำให้ค่าความร้อนหรืออุณหภูมิของฟลู๊ก้าชาที่ได้มีค่าลดลง โดยอุณหภูมิ ฟลู๊ก้าชาที่ได้จากการเผาใหม่มีลดลง 5.8 % ประการที่ 3 การวิเคราะห์ผลของความชื้นของอากาศจากการเผาใหม่ เชื้อเพลิง พบว่าเมื่อมีความชื้นสัมพัทธ์ของอากาศเพิ่มขึ้น 10 % มีผลทำให้อุณหภูมิจุดหลอมเหลวในฟลู๊ก้าชาเพิ่มขึ้น 1.2 % และอุณหภูมิจุดหลอมเหลวของกรดซัลฟลูริกในฟลู๊ก้าชาเพิ่มขึ้น 1.9 % ซึ่งจากข้อมูลพบว่าในช่วงเดือนตุลาคมจะมีโอกาสที่จะเกิดการกัดกร่อนของโลหะที่ใช้ทำปัลลงครัวน้ำไฟได้ง่ายเนื่องจากพบว่าอุณหภูมิจุดหลอมเหลวของกรดซัลฟลูริก มีค่ามากที่สุด ประการที่ 4 การเปรียบเทียบผลของอุณหภูมิจุดหลอมเหลวและอุณหภูมิจุดหลอมเหลวของกรดซัลฟลูริกในฟลู๊ก้าชา ระหว่างผลทางทฤษฎีกับผลที่ได้ในงานจริง พบว่าอุณหภูมิจุดหลอมเหลวของฟลู๊ก้าชาในทางทฤษฎีมีค่ามากกว่าผลที่ได้ในงานจริง 8.6 % และอุณหภูมิจุดหลอมเหลวของกรดซัลฟลูริกในทางทฤษฎีมีค่ามากกว่าผลที่ได้ในงานจริง 5.9 %

Abstract

This research studies and analysis of 4 cases steam generating system for maximize energy recovery from stack flue gas. 1st case to preheating feed water in heat exchanger counter flow type double pipe increases boiler efficiency from 76.9 % to 84.5 % while is a parallel flow heat exchanger, boiler efficiency increases from 76.9 % to 83.1 %. For 2nd case has analysis of fuel combustion in boiler. It was found that ethylene gas has highest heating value and methane has lowest heating value. In adjusting the excess air for combustion by increase excess air 10 %, there has a flue gas temperature decreases by 5.8 %. For 3rd case has analysis of humidity of inlet air boiler, when is burning acid dew point temperature increases by 1.2 % while is sulfuric acid dew point temperature increases by 1.9 %. From meteorological data, there has a chance of stack corrosion due to the highest sulfuric acid dew point in October. For 4th case has analysis a flue gas dew point temperature and sulfuric acid dew point temperature by theory data and real site data comparison. The theory of flue gas dew point temperature is higher than the real site of flue gas dew point temperature by 8.6 % while is the theory of sulfuric acid dew point temperature is higher than the real site of sulfuric acid dew point temperature by 5.9 %.

1. ນກໍາ

ทรัพยากรธรรมชาติที่มีอยู่ในปัจจุบันมีความสำคัญมากต่อทบทวน
ของการพัฒนาเศรษฐกิจของชาติ ซึ่งการดูแลรักษาคุณค่าของทรัพยากรธรรมชาติ

ทรัพยากรทางธรรมชาติที่มีอยู่อย่างจำกัดได้ได้ประโยชน์สูงสุด จึงเป็นสิ่งที่มีความสำคัญและจำเป็นอย่างยิ่งในสภาวะปัจจุบัน

โรงงานอุตสาหกรรมเป็นส่วนหนึ่งที่เข้ามามีบทบาทต่อการใช้ทรัพยากรธรรมชาติเป็นอย่างมาก อาทิเช่น การใช้น้ำในการกระบวนการผลิตต่าง ๆ การใช้เชื้อเพลิงประเภทต่าง ๆ เป็นต้น สิ่งเหล่านี้จะเป็นตัวแปรที่มีผลต่อการร้อนสูญเสียและลดลงของทรัพยากรธรรมชาติที่มีอยู่อย่างจำกัด ดังนั้น การศึกษากระบวนการเพื่อประหยัดการใช้พลังงานและทรัพยากรธรรมชาติ หรือการใช้พลังงานและทรัพยากรธรรมชาติให้ได้ประโยชน์สูงสุดจึงเป็นสิ่งที่มีความสำคัญและควรศึกษาอย่างยิ่ง

ระบบต้นกำลังผลิตไอน้ำ เป็นระบบผลิตต้นกำลังที่มีการใช้ปริมาณของเชื้อเพลิงค่อนข้างสูง ได้แก่ น้ำมัน ก๊าซธรรมชาติ และถ่านหิน เป็นต้น เราจึงต้องใช้พลังงานเชื้อเพลิงให้มีประสิทธิภาพสูงสุด จึงได้ทำการศึกษาและวิเคราะห์พารามิเตอร์ที่ใช้ในระบบผลิตความร้อนของหม้อไอน้ำ ซึ่งจะพิจารณาพารามิเตอร์ของการใช้เชื้อเพลิงที่เหมาะสมกับการผลิตไอน้ำให้ได้ประสิทธิภาพให้ได้ประโยชน์สูงสุด โดยจะทำการวิเคราะห์ด้วยตัวแปรต่างๆ ที่มีผลกระทบกับการทำงานของหม้อไอน้ำ ซึ่งจะใช้โปรแกรมคอมพิวเตอร์เพื่อทำการวิเคราะห์และคำนวนค่าพารามิเตอร์ต่าง ๆ ดังกล่าวโดยจะมุ่งเน้น พารามิเตอร์ที่เป็นฟลูก้าซึ่งที่ได้จากการเผาไหม้ มาถ่ายเทความร้อนให้กับน้ำเลี้ยงก่อนป้อนเข้าสู่หม้อไอน้ำ และรวมทั้งปริมาณของความชื้นในอากาศที่มีผลกระทบต่อเผาไหม้ของเชื้อเพลิงชนิดต่าง ๆ เป็นต้น

2. หลักการและทฤษฎี

2.1 ประสิทธิภาพเชิงความร้อนของหม้อไอน้ำ [1]

ประสิทธิภาพเชิงความร้อนของหม้อไอน้ำสามารถวิเคราะห์โดยใช้วิธีการคำนวนความร้อนสูญเสียรวมได้ดังนี้

ความร้อนสูญเสียที่เกิดขึ้นในฟลูก้า

$$Q_{fl} = M_{fl} * C_{fl} (T_{fl} - T_{amb}) \quad (1)$$

ความร้อนสูญเสียที่เกิดจากความชื้นในอากาศ

$$Q_{th} = W_a * Air_c * C_{pa} (T_{fl} - T_{amb}) \quad (2)$$

ความร้อนที่สูญเสียที่เกิดจากความชื้นในเชื้อเพลิง

$$Q_{fu} = M_f (h_g - h_f) \quad (3)$$

ความร้อนที่สูญเสียที่เกิดจากการผลิตน้ำให้ถ่ายเปลี่ยนไป

$$Q_h = M_w (h_g - h_f) \quad (4)$$

ความร้อนสูญเสียอันเนื่องมาจากน้ำที่กันเตา

$$Q_{ba} = \frac{Ash * 0.9 * GCV_{ba}}{1 - \left[\frac{GCV_{ba}}{GCV_f} \right]} \quad (5)$$

ความร้อนสูญเสียอันเนื่องมาจากน้ำที่ปล่องไอเสีย

$$Q_{fa} = \frac{Ash * 0.1 * GCV_{fa}}{1 - \left[\frac{GCV_{fa}}{GCV_f} \right]} \quad (6)$$

ความร้อนสูญเสียเนื่องจากการปล่อยน้ำทิ้ง

$$Q_{bd} = \frac{M_{bd} * (h_{do} - h_{amb})}{F_f} \quad (7)$$

ฉะนั้น ความร้อนสูญเสียรวม (Total heat loss) คือ

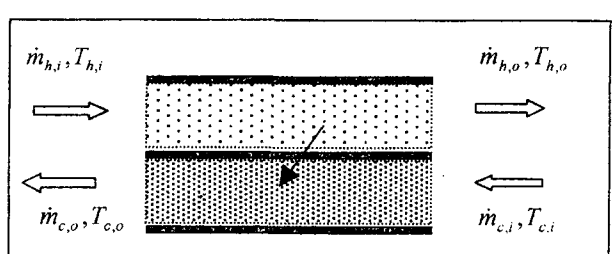
$$Q_{loss} = Q_{fl} + Q_{th} + Q_h + Q_{fu} + Q_{ba} + Q_{fa} + Q_{bd} \quad (8)$$

ประสิทธิภาพเชิงความร้อนของหม้อไอน้ำ

$$\eta_b = \frac{(GCV - Q_{loss})}{GCV} \quad \frac{(kJ/kg)}{(kJ/kg)} \quad (9)$$

2.2 การถ่ายเทความร้อนของเครื่องแลกเปลี่ยนความร้อน [2]

- วิธีล็อกมีเนغمเพอเรจอร์ติฟเฟอร์นท์ (LMTD)
- การพิจารณาหลักการถ่ายเทความร้อนสำหรับการคำนวณ คือ การคำนวณและขอเข้าในการพิจารณาให้สามารถอธิบายการทำงานของเครื่องแลกเปลี่ยนความร้อนได้ โดยมีสมมุติฐานดังนี้
 - ก. การไหลของ ฯ ให้ จะต้องเป็นการไหลแบบคงที่
 - ข. ค่าสัมประสิทธิ์การถ่ายเทความร้อนโดยรวมมีค่าคงที่
 - ค. ค่าสัมประสิทธิ์การพาความร้อนมีค่าคงที่
 - ง. ไม่คิดค่าความร้อนที่สูญเสียไปกับสิ่งแวดล้อม



รูปที่ 1 แสดงหลักการถ่ายเทความร้อนของไอลชันด์ไอลส์ทางกัน

ดังนั้น สมการการถ่ายเทความร้อน คือ

$$\dot{Q} = UA\Delta\theta_m \quad (10)$$

เมื่อ

\dot{Q} คือ อัตราของความร้อน

U คือ สัมประสิทธิ์การถ่ายเทความร้อนรวม

A คือ พื้นที่ของการถ่ายเทความร้อน

$\Delta\theta_m$ คือ ค่าความแตกต่างของอุณหภูมิ

จากสมการที่ (10) จะได้ดังนี้

$$\delta\dot{Q} = U(\delta A)\Delta\theta_m \quad (11)$$

เมื่อพิจารณาข้างไฟล์แต่ละส่วนที่ใช้ จะได้

$$\delta\dot{Q} = \dot{m}_h C_h (-\delta T_h) = \dot{m}_c C_c (\delta T_c) \quad (12)$$

เมื่อพิจารณาในเทอมของ $\Delta\theta_m$ จะได้

$$\delta(\Delta\theta) = \delta(T_h - T_c) = (\delta T_h - \delta T_c) = \left[\frac{-1}{\dot{m}_h C_h} - \frac{1}{\dot{m}_c C_c} \right] \delta\dot{Q} = \left[\frac{-1}{\dot{m}_h C_h} - \frac{1}{\dot{m}_c C_c} \right] U \delta A \Delta\theta \quad (13)$$

จากสมการที่ (13) จะได้

$$\frac{\delta(\Delta\theta)}{\Delta\theta} = \left[\frac{-1}{\dot{m}_h C_h} - \frac{1}{\dot{m}_c C_c} \right] U \delta A \quad (14)$$

อินทิเกรตในเทอมของ $\Delta\theta$ จะได้ดังนี้ :

$$\ln \frac{\Delta\theta_2}{\Delta\theta_1} = \left[\frac{-1}{\dot{m}_h C_h} - \frac{1}{\dot{m}_c C_c} \right] U A \quad (15)$$

$$\Delta\theta_2 - \Delta\theta_1 = \left[\frac{-1}{\dot{m}_h C_h} - \frac{\pm 1}{\dot{m}_c C_c} \right] \dot{Q} \quad (16)$$

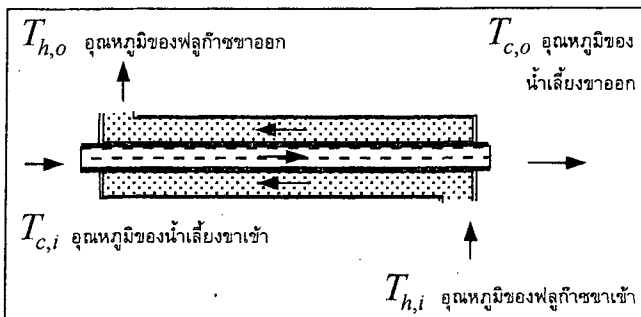
เมื่อพิจารณาสมการสองสมการ คือ สมการที่ (15) และ (16) จะได้ความสัมพันธ์ใหม่ ดังนี้-

$$\dot{Q} = UA \frac{(\Delta\theta_2 - \Delta\theta_1)}{\ln(\Delta\theta_2 / \Delta\theta_1)} = UA\Delta\theta_{lmid} \quad (17)$$

เมื่อ

$$\Delta\theta_{lmid} = \frac{(\Delta\theta_2 - \Delta\theta_1)}{\ln(\Delta\theta_2 / \Delta\theta_1)} \quad (18)$$

การถ่ายเทความร้อนของฟลู๊ก้าซ์ให้กับน้ำเลี้ยงในหม้อไอน้ำ [3]



รูปที่ 2 แสดงหลักการถ่ายเทความร้อนชนิดไฟล์สวนทางกัน

ดังนั้น สิ่งที่จะต้องทราบเพื่อหาพารามิเตอร์ที่เหมาะสมคือ

- อุณหภูมิของน้ำเลี้ยงเข้า $T_{c,i}$ และ อุณหภูมิของฟลู๊ก้าซ์เข้าที่มาจากการปล่อยฟลู๊ก้าซ์ของหม้อไอน้ำ $T_{h,i}$
 - อัตราการถ่ายเทของมวล (Mass Flow Rate) ของของไฟล์ทั้ง 2 ชนิด คือ \dot{m}_h และ \dot{m}_c
 - ค่าความร้อนจำเพาะ (Specific heat) ของไฟล์คือ C_h และ C_c
 - ค่าสัมประสิทธิ์การถ่ายเทความร้อนรวม (Overall Heat Transfer Coefficient), U
 - พื้นที่ผิว (Surface Area) ของการถ่ายเทความร้อน, A
- จะได้การสมดุลพลังงานความร้อน ดังนี้

$$\dot{Q} = \dot{m}_c C_c (T_{c,o} - T_{c,i}) = \dot{m}_h C_h (T_{h,i} - T_{h,o}) \quad (19)$$

อุณหภูมิของน้ำเลี้ยงขาออก

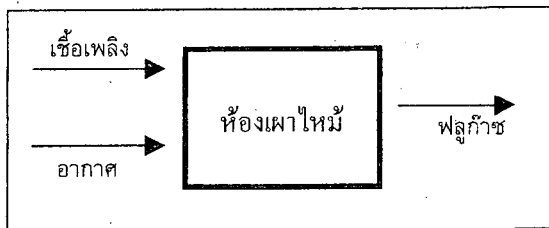
$$T_{c,o} = \frac{(\dot{m}_h C_h \varepsilon T_{h,i}) + (\dot{m}_c C_c T_{c,i}) - (\dot{m}_h C_h \varepsilon T_{c,i})}{\dot{m}_c C_c} \quad (20)$$

และอุณหภูมิของฟลู๊ก้าซ์ขาออก

$$T_{h,o} = \frac{(\dot{m}_h C_h T_{h,i}) - (\dot{m}_c C_c (T_{c,o} - T_{c,i}))}{\dot{m}_h C_h} \quad (21)$$

2.3 การเผาไหม้ของเชื้อเพลิง [4]

ระบบหม้อไอน้ำเป็นระบบหนึ่งที่นำพลังงานความร้อนจากการเผาไหม้ของเชื้อเพลิง ซึ่งคำว่า “เชื้อเพลิง” หมายถึง วัสดุที่สามารถถูกติดไฟหรือเผาไหม้ได้โดยจะต้องสามารถให้ความร้อนออกมากจำนวนหนึ่ง ซึ่งเชื้อเพลิงจะประกอบด้วย 2 ส่วนหลัก ๆ คือ ไฮโดรเจน และ คาร์บอน ซึ่งเรียกว่า สารประกอบไฮโดรคาร์บอน การเผาไหม้ที่สมบูรณ์จะประกอบไปด้วยองค์ประกอบของเชื้อเพลิงไฮโดรคาร์บอน และอากาศ ซึ่งมีกําชองอํกซิเจนเป็นส่วนประกอบที่สำคัญเพื่อช่วยในการเผาไหม้และผลที่ได้จากการเผาไหม้ของเชื้อเพลิงที่สมบูรณ์จะได้กําชองคาร์บอนไดออกไซด์ น้ำ ออกซิเจนและไฮโดรเจน เป็นต้น



รูปที่ 3 แสดงองค์ประกอบของการเผาไหม้ของเชื้อเพลิง

2.4 อุณหภูมิของฟลูก้าซ

สำหรับการเผาไหม้ที่มีการควบคุมความร้อนสูญเสียให้มีค่าเป็นศูนย์ ทำให้เราทราบว่าอุณหภูมิที่ได้จากการเผาไหม้ของเชื้อเพลิงนี้ ก็คืออุณหภูมิเปลี่ยนไฟของฟลูก้าซ เป็นค่าอุณหภูมิสูงที่สุดซึ่งความร้อนที่ได้จากการเผาไหม้มีสมมุติฐานว่าไม่มีการถ่ายเทความร้อนไปสู่บรรยากาศหรือถ่ายเทความร้อนไปสู่ภายนอก ซึ่งองค์ประกอบที่สำคัญที่ทำให้อุณหภูมิของฟลูก้าซเปลี่ยนแปลงก็คือชนิดเชื้อเพลิง ปริมาณของอากาศส่วนเกิน อัตราส่วนผสมระหว่างน้ำมันกับอากาศ ซึ่งจากคุณสมบัตินี้สามารถเขียนเป็นสมการสมดุลพลังงานได้ ดังนี้

$$Q - W = \sum N_p (\bar{h}_f^o + \bar{h} - \bar{h}^o)_p - \sum N_R (\bar{h}_f^o + \bar{h} - \bar{h}^o)_R \quad (22)$$

กำหนดให้ $T_{amb} = 25^\circ C$ และ $P = 101.325 \text{ kPa}$

เมื่อนำ $Q = 0$ และ $W = 0$ จะได้

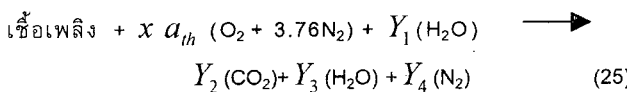
$$H_p = H_R \quad (23)$$

จะนั้น สามารถเขียนความสัมพันธ์ใหม่ได้ ดังนี้ :-

$$\sum N_p (\bar{h}_f^o + \bar{h} - \bar{h}^o)_p = \sum N_R (\bar{h}_f^o + \bar{h} - \bar{h}^o)_R \quad (24)$$

2.5 ความชื้นในอากาศส่วนเกิน

เนื่องจากในทางปฏิบัติองค์ประกอบหนึ่งที่มักมีความสำคัญต่ออุณหภูมิของฟลูก้าซที่ได้จากการเผาไหม้นั้นก็คือความชื้นที่มีอยู่ในอากาศส่วนเกินซึ่งสามารถที่จะศึกษาเพื่อตัดผลกระทบของความชื้นในอากาศส่วนเกินต่ออุณหภูมิของฟลูก้าซและอุณหภูมิที่จุดน้ำค้างของไอ้น้ำในฟลูก้าซได้ โดยอยู่ในรูปของสมการดังนี้



จากสมการการเผาไหม้ข้างต้น จะได้ความสัมพันธ์ของ

$$Y_{tot} = 4.76 * a_{th} * x \quad (26)$$

เมื่อ Y_{tot} คือ ตัวเลขสัมประสิทธิ์ของไอ้น้ำในอากาศส่วนเกิน

x คือ เปอร์เซนต์ของอากาศส่วนเกิน (%)
จะนั้น จะได้ ความสัมพันธ์ ดังนี้

$$Y_1 = \left(\frac{P_v}{P} \right) Y_{tot} \quad (27)$$

โดยอัตราส่วนความชื้นสัมพันธ์

$$\phi = \frac{P_v}{P_{sat}} \quad (28)$$

เมื่อ $P = 101.325 \text{ kPa}$

จะนั้น ค่าความดันย่ออย่างไอน้ำ คือ :

$$P_{v,prod} = \left(\frac{Y_3}{Y_{prod}} \right) P_{prod} \quad (29)$$

โดยกำหนดให้ $P_{prod} = 760 \text{ mm Hg} = 101.325 \text{ kPa}$

จะนั้นจะได้ผลรวมดังนี้

$$Y_{prod} = Y_2 + Y_3 + Y_4 \quad (30)$$

เมื่อได้ค่าความดันย่อของไอน้ำในฟลูก้าซแล้ว จึงสามารถคำนวณอุณหภูมิที่จุดน้ำค้างของไอน้ำในฟลูก้าซในตารางไอน้ำทั่วไปหรือคำนวณจากความสัมพันธ์ระหว่าง ความดันไอน้ำกับอุณหภูมิที่จุดน้ำค้าง โดยแสดงให้อยู่ในรูปสมการเออมไพริกอลของนายสปริง (Sprung's empirical formula) ซึ่งสามารถคำนวณค่าอุณหภูมิที่จุดน้ำค้างไอน้ำในฟลูก้าซได้ดังนี้

$$\frac{(P_{v,prod} - P_v)}{P_{prod}} = \frac{0.5(T_{amb} - T_{dp})}{.755} \quad (31)$$

กำหนดให้ $P_{prod}, P_v, P_{v,prod}$ แสดงอยู่ในหน่วยของ mm Hg
เมื่อคำนวณอุณหภูมิจุดน้ำค้างไอน้ำของฟลูก้าซแล้ว อิกสิ่งหนึ่งที่ควรทราบก็คือ อุณหภูมิจุดน้ำค้างกรดซัลฟูริก ซึ่งมีความสำคัญต่อการเผาไหม้ของเชื้อเพลิง เนื่องจากจะมีผลต่อการตัดกร่อนของปล่องไอเสียของหม้อไอน้ำ ซึ่งสามารถคำนวณได้โดยใช้สมการของนาย Ganapathy V. ได้ดังนี้ โดยกำหนดให้ $(\%SO_2)$ คือ เปอร์เซนต์ของก๊าซซัลเฟอร์ไดออกไซด์ในฟลูก้าซ

$$\frac{1000}{T_{dp}} = 2.276 - (0.0294 \ln(R)) - (0.0858 \ln(P_{prod})) + (0.0062 \ln(\%SO_2) \ln(P_{prod})) \quad (32)$$

$$P_{h_2so_4} = 0.1216 (\%SO_2 P_{prod}) \quad (33)$$

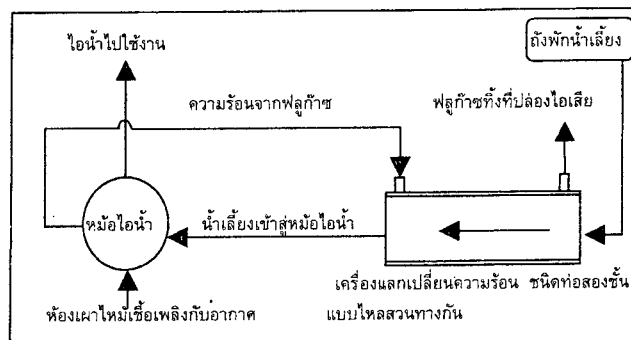
2.6 พารามิเตอร์ที่ใช้เพื่อการคำนวณในโปรแกรม

การวิเคราะห์ระบบต้นกำลังผลิตไอน้ำในหม้อน้ำที่อ่อนน้ำคิดท่อไฟซึ่งจะอาศัย ระบบการอุ่นน้ำเลี้ยงโดยใช้ความร้อนจากฟลูก้าซที่เกิดจากการเผาไหม้ในหม้อน้ำอ่อนน้ำมาถ่ายเทความร้อนให้กับน้ำเลี้ยง ซึ่งจะใช้เครื่องแลกเปลี่ยนความร้อนชนิดท่อสองชั้น ชนิดได้เหลวส่วนทางกัน และเป็นการให้เหลวน้ำกันโดยกำหนดพารามิเตอร์ของหม้อน้ำอ่อนน้ำ ได้ดังนี้

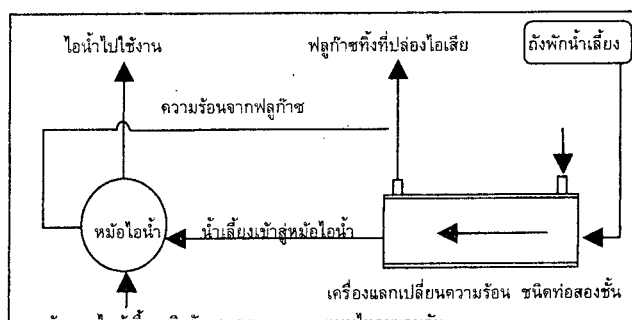
ชนิดของเชื้อเพลิงที่ใช้	น้ำมันเตา C
องค์ประกอบเชื้อเพลิง	C 85.5 %, H 11.5 %, S 1.85 %, N .05 %
ค่าความร้อนเชื้อเพลิง	41,580 kJ/kg
อัตราการเผาไหม้	133.85 kg/hr
อัตราการผลิตไอน้ำ	3,000 kg/hr
ความดันไอน้ำใช้งาน	550 kPa
อุณหภูมิไอน้ำใช้งาน	155 °C
อุณหภูมิน้ำเลี้ยงหม้อน้ำ	95 °C
ความชื้นสัมพัทธ์เฉลี่ย	85 %
อุณหภูมิภายนอก	31 °C
ค่าความร้อนจำเพาะของฟลูก้าซ	1.096 kJ/kg K
อุณหภูมิฟลูก้าซที่บล่อง	164 °C
อัตราการให้เหล่าน้ำเลี้ยงเข้าหม้อน้ำ	1.30 kg/s
อัตราการให้เหลวฟลูก้าซออกจากหม้อน้ำ	0.45 kg/s
ความเร็วของฟลูก้าซที่บล่อง	3.0 m/s
ความดันของฟลูก้าซ	111.4 kPa
เอนทัลปีของไอน้ำที่อุณหภูมิของฟลูก้าซ	2,676.2 kJ/kg
เอนทัลปีของน้ำที่อุณหภูมิภายนอก	129.79 kJ/kg
เอนทัลปีของไอน้ำที่อุณหภูมิไอน้ำ	974.56 kJ/kg
แฟลซต์ดีมี	24.57 %
พารามิเตอร์ของเครื่องแลกเปลี่ยนความร้อนชนิดท่อสองชั้น ชนิดได้เหลวส่วนทางกันและเป็นการให้เหลวน้ำกัน	
อัตราการให้เหลวของฟลูก้าซ	0.45 kg/s
อัตราการให้เหล่าน้ำเลี้ยง	1.30 kg/s
อุณหภูมิฟลูก้าซเข้า	164 °C
อุณหภูมน้ำเลี้ยงขาเข้า	50 °C
ค่าความร้อนจำเพาะของฟลูก้าซ	1,015 J/kg K
ค่าความร้อนจำเพาะของน้ำเลี้ยง	4,18 J/kg K
สัมประสิทธิ์การถ่ายเทความร้อนรวม	300 W/m ² K
พื้นที่ผิวสำหรับการถ่ายเทความร้อน	2.0 m ²
เมื่อเครื่องแลกเปลี่ยนความร้อนมีความยาว 2 เมตร ทำด้วยเหล็กชุบแม็กนีติกาท่อใน 0.05 เมตร ท่อเม็ดขนาดเส้นผ่าศูนย์กลางใน 0.65 เมตร เส้นผ่านศูนย์กลางนอก 0.85 เมตร	

การวิเคราะห์ จะทำการเปลี่ยนแปลงค่าพารามิเตอร์ของเครื่องแลกเปลี่ยนความร้อน ดังนี้ อัตราการให้เหลวของฟลูก้าซ ตั้งแต่ 0.1 จนถึง 2 kg/s โดยเพิ่มครั้งละ 0.1 kg/s, อัตราการให้เหลวน้ำเลี้ยง ตั้งแต่ 0.5 จนถึง 10 kg/s โดยเพิ่มครั้งละ 0.5 kg/s, อุณหภูมิฟลูก้าซเข้า ตั้งแต่ 100 จนถึง 300 °C โดยเพิ่มครั้งละ 10 °C, อุณหภูมน้ำเลี้ยงขาเข้า ตั้งแต่ 10 จนถึง 30 °C โดยเพิ่มครั้งละ 1 °C, สัมประสิทธิ์การถ่ายเทความ

ร้อนรวม ตั้งแต่ 50 จนถึง 500 W/m² K โดยเพิ่มครั้งละ 50 W/m² K, พื้นที่สำหรับการถ่ายเทความร้อน ตั้งแต่ 1 จนถึง 21 m² โดยเพิ่มครั้งละ 1 m² ซึ่งเป็นการหาความสัมพันธ์ของพารามิเตอร์และประสิทธิภาพของระบบหม้อน้ำอ่อนน้ำคิดที่ไม่มีเครื่องแลกเปลี่ยนความร้อนและชนิดที่มีการใช้เครื่องแลกเปลี่ยนความร้อนชนิดท่อสองชั้นมีการให้เหลวส่วนทางกันและให้เหลวแบบขนาดน้ำกันไปซึ่งจะถ่ายเทความร้อนจากฟลูก้าซให้กับระบบอุ่นน้ำเลี้ยงโดยอาศัยการคำนวณและประมวลผลด้วยโปรแกรมคอมพิวเตอร์



รูปที่ 4 ระบบหม้อน้ำอ่อนน้ำที่ใช้เครื่องแลกเปลี่ยนความร้อนชนิดท่อสองชั้นแบบให้เหลวส่วนทางกัน



รูปที่ 5 ระบบหม้อน้ำอ่อนน้ำที่ใช้เครื่องแลกเปลี่ยนความร้อนชนิดท่อสองชั้นแบบให้เหลวน้ำกัน

T₁ อุณหภูมิของน้ำเลี้ยงก่อนเข้าเครื่องแลกเปลี่ยนความร้อนแบบให้เหลวส่วนทางกัน

T₂ อุณหภูมิของน้ำเลี้ยงที่ออกจากเครื่องแลกเปลี่ยนความร้อนแบบให้เหลวส่วนทางกัน

T₃ อุณหภูมิของฟลูก้าซก่อนเข้าเครื่องแลกเปลี่ยนความร้อนแบบให้เหลวส่วนทางกัน

T₄ อุณหภูมิของฟลูก้าซที่ออกจากเครื่องแลกเปลี่ยนความร้อนแบบให้เหลวส่วนทางกัน

T₅ อุณหภูมิของน้ำเลี้ยงที่ออกจากเครื่องแลกเปลี่ยนความร้อนแบบให้เหลวน้ำกัน

T₆ อุณหภูมิของน้ำเลี้ยงที่ออกจากเครื่องแลกเปลี่ยนความร้อนแบบให้เหลวน้ำกัน

T_7 อุณหภูมิของฟลูก้าซก่อนเข้าเครื่องแลกเปลี่ยนความร้อนแบบใหม่/exchange tank

T_8 อุณหภูมิของฟลูก้าซที่ออกจากเครื่องแลกเปลี่ยนความร้อนแบบใหม่/exchange tank

3. ผลการวิจัย

ผลจากการวิเคราะห์โดยใช้โปรแกรมคอมพิวเตอร์ ซึ่งนำค่าพารามิเตอร์ต่าง ๆ มาคำนวณ เพื่อจำลองระบบและประมาณผลที่ได้ ซึ่งแสดงความสัมพันธ์ของพารามิเตอร์ต่าง ๆ ไว้ในรูปของภาพแผนภูมิ ซึ่งอธิบายได้ดังต่อไปนี้

รูปที่ 6 เมื่อทำการปรับค่าอุณหภูมิฟลูก้าซที่ออกจากปล่องไอล์เซียของหม้อไอน้ำ 100 °C ทำให้ประสิทธิภาพหม้อไอน้ำที่ใช้กับเครื่องแลกเปลี่ยนความร้อนชนิดท่อสองชั้น แบบใหม่/exchange tank เท่ากับ 85.2 % และแบบใหม่/exchange tank 84.6 % และแบบไม่มีเครื่องแลกเปลี่ยนความร้อนที่ 300 °C ประสิทธิภาพหม้อไอน้ำ ที่ใช้เครื่องแลกเปลี่ยนความร้อนชนิดท่อสองชั้น แบบใหม่/exchange tankลดลง 82.8 % และแบบใหม่/exchange tank 79.6 % และในการนี้ไม่มีระบบถ่ายเทความร้อนลดลง และมีค่าเท่ากับ 65.1 %

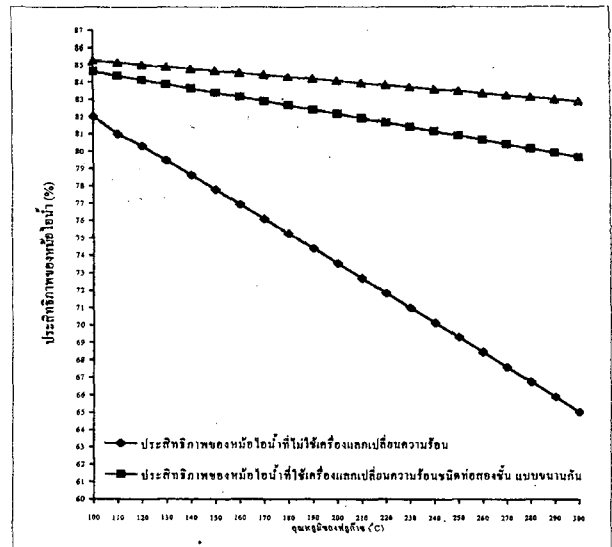
รูปที่ 7 เมื่อทำการปรับค่าพารามิเตอร์ของเครื่องแลกเปลี่ยนความร้อน ชนิดท่อสองชั้น แบบใหม่/exchange tank โดยให้อุณหภูมิของฟลูก้าซที่ออกจากปล่องไอล์เซียของหม้อไอน้ำมีค่า 100 °C ทำให้อุณหภูมิของฟลูก้าซที่ออกจากเครื่องแลกเปลี่ยนความร้อนเท่ากับ 64.1 °C และอุณหภูมิของน้ำเลี้ยงที่ออกจากเครื่องแลกเปลี่ยนความร้อนเท่ากับ 532 °C ถ้าปรับอุณหภูมิเพิ่มไปที่ 300 °C ทำให้อุณหภูมิของฟลูก้าซที่ออกจากเครื่องแลกเปลี่ยนความร้อนมีอุณหภูมิเพิ่มขึ้นเป็น 120.5 °C และอุณหภูมิของน้ำเลี้ยงที่ออกจากเครื่องแลกเปลี่ยนความร้อนเพิ่มขึ้นเป็น 65.1 °C

รูปที่ 8 เมื่อทำการเปรียบเทียบผลของอุณหภูมิจุดน้ำค้างของฟลูก้าซของเรือเพลิงชีนิดต่าง ๆ โดยมีการปรับเพิ่ม อาการส่วนเกิน พบว่า ก้าซาร์มชาติจะให้ผลของอุณหภูมิที่จุดน้ำค้างของไอน้ำในฟลูก้าซ สูงสุด เท่ากับ 57.9 °C ที่อาการส่วนเกิน 5 % และ 49.5 °C ที่อาการส่วนเกิน 50 % และพบว่ามัณฑะ C ให้ผลของอุณหภูมิที่จุดน้ำค้างของฟลูก้าซน้อยที่สุด เท่ากับ 44.3 °C ที่อาการส่วนเกิน 5 % และ 39.1 °C ที่อาการส่วนเกิน 50 %

รูปที่ 9 เมื่อทำการเปรียบเทียบผลของอุณหภูมิที่จุดน้ำค้างของไอน้ำในฟลูก้าซระหว่างการนำข้อมูลริงมาคำนวนโดยนำมาจากบริษัท กรุงเทพผลิตเหล็กจำกัด(มหาชน)(BSI: Bangkok Steel Industry) ซึ่งเป็นค่าอุณหภูมิฟลูก้าซที่ปล่องนำมาร้านทดสอบที่จุดน้ำค้างของไอน้ำในฟลูก้าซกับข้อมูลที่ได้ในทางทฤษฎี ในช่วงวันที่ 25-30 ตุลาคม 2542 พบว่าค่าที่ได้จากการคำนวนในทางทฤษฎี มีค่าสูงกว่า ค่าจริงที่ได้ 8.6 % และการนำค่าที่ได้จริงซึ่งเป็นเปอร์เซนต์ปริมาณ ก้าซชัลเฟอร์ได้ออกไซด์ตีนิฟลูก้าซที่ปล่องนำมาร้านทดสอบค่าอุณหภูมิจุดน้ำค้างของรัฐสัลฟูริคในฟลูก้าซกับข้อมูลที่ได้ในทางทฤษฎี ในช่วงวันที่ 25-30 ตุลาคม 2542 พบว่าค่าที่ได้จากการคำนวณมีค่าสูงกว่าค่าจริงที่ได้จากการบริษัท 5.9 %

การปรับค่าพารามิเตอร์ กรณีที่ 1

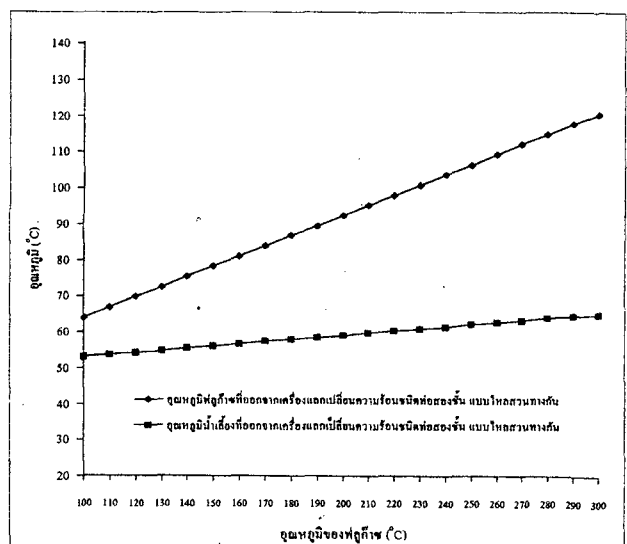
ผลจากการปรับค่าพารามิเตอร์ของเครื่องแลกเปลี่ยนความร้อนชนิดท่อสองชั้น แบบใหม่/exchange tank และ แบบใหม่/exchange tank โดยกำหนด T_3 และ T_7 ตั้งแต่ 100 ถึง 300 °C, T_1 และ $T_5 = 50$ °C, $\dot{m}_c = 1.3 \text{ kg/s}$, $\dot{m}_h = 0.45 \text{ kg/s}$, $U = 300 \text{ W/m}^2 \text{ K}$, $A = 2 \text{ m}^2$, $C_c = 4,184 \text{ J/kg K}$, $C_h = 1,015 \text{ J/kg K}$



รูปที่ 6 แสดงความสัมพันธ์ระหว่างประสิทธิภาพหม้อไอน้ำกับ อุณหภูมิฟลูก้าซ

การปรับค่าพารามิเตอร์ กรณีที่ 2

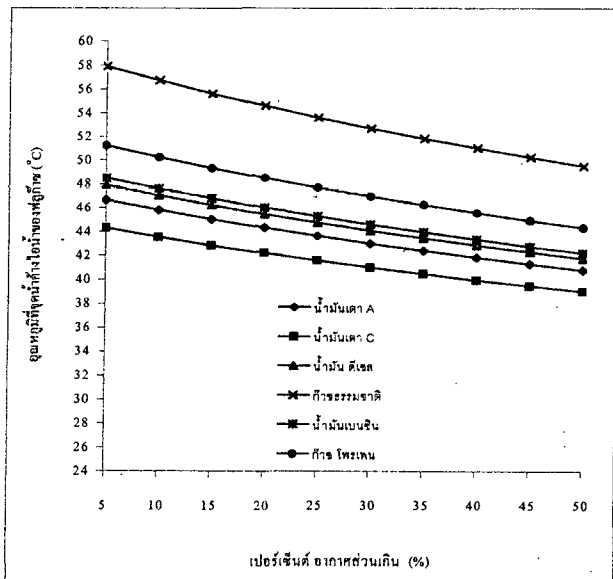
ผลจากการปรับค่าพารามิเตอร์ของเครื่องแลกเปลี่ยนความร้อนชนิดท่อสองชั้น แบบใหม่/exchange tank โดยกำหนด T_3 และ T_7 ตั้งแต่ 100 ถึง 300 °C, T_1 และ $T_5 = 50$ °C, $\dot{m}_c = 1.3 \text{ kg/s}$, $\dot{m}_h = 0.45 \text{ kg/s}$, $U = 300 \text{ W/m}^2 \text{ K}$, $A = 2 \text{ m}^2$, $C_c = 4,184 \text{ J/kg K}$, $C_h = 1,015 \text{ J/kg K}$



รูปที่ 7 แสดงความสัมพันธ์ระหว่าง T_3 กับ T_2 และ T_3 กับ T_4

การปรับค่าพารามิเตอร์ กรณีที่ 3

ผลของค่าพารามิเตอร์ อุณหภูมิที่จุดน้ำค้างของฟลู๊ก้าซของเชือเพลิงชนิดต่าง ๆ ซึ่งได้จากการปรับเพิ่ม อากาศส่วนเกินโดยปรับเพิ่มตั้งแต่ 5 ถึง 50 %

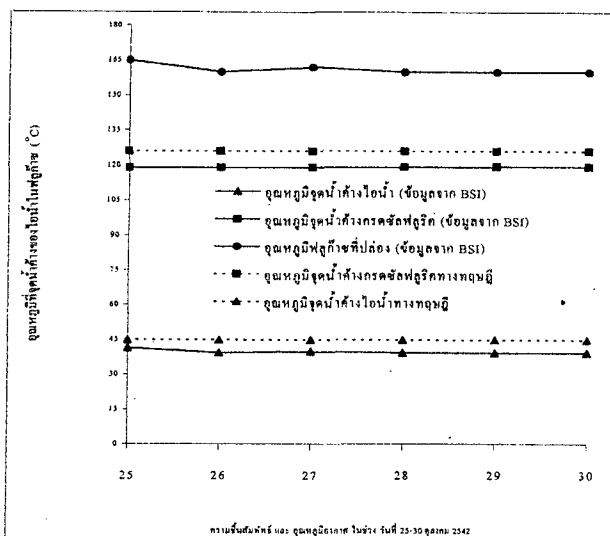


รูปที่ 8 ความสัมพันธ์ระหว่าง อุณหภูมิจุดน้ำค้าง ไอ้น้ำที่ได้จากการ

เพาใหม่เชือเพลิงชนิดต่าง ๆ กับปริมาณของอากาศส่วนเกิน การปรับค่าพารามิเตอร์ กรณีที่ 4

ผลการคำนวณของข้อมูลจริงจากการเพาใหม่น้ำมันเตา C ของ บริษัท กรุงเทพผลิตเหล็ก จำกัด (มหาชน) และนำค่าจริงของอุณหภูมิอากาศ และความชื้นสัมพัทธ์ ในช่วงวันที่ 25 ถึง 30 ตุลาคม 2542 มาใช้ในการ

วิเคราะห์เพื่อหาจุดน้ำค้าง ไอ้น้ำและจุดน้ำค้างของกรดซัลฟลูริกในฟลู๊ก้าซ



รูปที่ 9 แสดงอุณหภูมิจุดน้ำค้าง ไอ้น้ำและอุณหภูมิจุดน้ำค้าง ของกรดซัลฟลูริกในฟลู๊ก้าซในการเพาใหม่น้ำมันเตา C

4. สรุปผลการวิจัย

สรุปผลจากการวิเคราะห์และจำลองระบบการผลิตไอ้น้ำ พนบว่า เมื่ออุณหภูมิฟลู๊ก้าซที่ปล่องไอเสียเมื่ออุณหภูมิเพิ่มขึ้นจาก 100 °C เป็น 300 °C จะทำให้ประสิทธิภาพของหม้อไอน้ำที่ได้ มีค่าลดลง 26.1 % ซึ่งถ้าหากความร้อนทึบของฟลู๊ก้าซที่ปล่องไอเสียมาถ่ายเทความร้อนให้กับน้ำเลี้ยงหม้อไอน้ำโดยอาศัยการถ่ายเทความร้อนผ่านเครื่องแลกเปลี่ยนความร้อนชนิดท่อสองชั้นแบบไฟล์ส่วนทางกันจะทำให้ประสิทธิภาพหม้อไอน้ำ มีค่าเพิ่มขึ้น 9.8 % และมีค่าเพิ่มขึ้น 8.1 % สำหรับการไฟล์แบบบานานากัน จากผลการวิเคราะห์ที่เราพบว่าการไฟล์แบบบานานากันให้ความสามารถในการถ่ายเทความร้อนได้ดีกว่าแบบการไฟล์บานานากัน สำหรับกรณีของอุณหภูมิของน้ำเลี้ยงหลังออกจากเครื่องแลกเปลี่ยนความร้อนชนิดท่อสองชั้นแบบไฟล์ส่วนทางกันจะมีอุณหภูมิของน้ำเลี้ยงที่เป็นการไฟล์แบบบานานากัน เท่ากับ 1.2 % ขณะที่ฟลู๊ก้าซมีอุณหภูมิเท่ากับ 100 °C และ 4.9 % เมื่อฟลู๊ก้าซมีอุณหภูมิเท่ากับ 300 °C ซึ่งจะพบว่าเมื่ออุณหภูมิของฟลู๊ก้าซยังมีค่ามากขึ้นจะทำให้อุณหภูมิของน้ำเลี้ยงที่ออกจากเครื่องแลกเปลี่ยนความร้อนชนิดท่อสองชั้นระหว่างแบบไฟล์ส่วนทางกันกับแบบไฟล์บานานากันยังมีค่าแตกต่างกันมากขึ้นและพบว่าการใช้เครื่องแลกเปลี่ยนความร้อนแบบไฟล์ส่วนทางกันให้ประสิทธิภาพดีกว่าการไฟล์แบบบานานากันและผลจากการวิเคราะห์พบว่า อุณหภูมิของฟลู๊ก้าซที่ออกจากเครื่องแลกเปลี่ยนความร้อนชนิดท่อสองชั้น แบบไฟล์ส่วนทางกันจะมีค่า้อยกว่าแบบไฟล์บานานากันเท่ากับ 28.6 % สำหรับอัตราการไฟล์โดยมวลของฟลู๊ก้าซจะแปรผิดผันกับประสิทธิภาพของหม้อไอน้ำ กล่าวคือเมื่อตัวการไฟล์โดยมวลของฟลู๊ก้าซมีค่าเพิ่มขึ้นจะทำให้ประสิทธิภาพหม้อไอน้ำลดลงเนื่องมาจากเวลาที่ใช้ในการถ่ายเทความร้อนให้กับน้ำเลี้ยงน้อยลงและพบว่าเมื่อมีการเพิ่มพื้นที่ผิวของกรดซัลฟลูริกของเครื่องแลกเปลี่ยนความร้อน 1 m² จะทำให้ประสิทธิภาพของหม้อไอน้ำจะมีค่าเพิ่มขึ้นประมาณ 2.7 % และสำหรับอัตราการไฟล์โดยมวลของน้ำเลี้ยงก่อนเข้าสู่หม้อไอน้ำ พบว่าตัวอัตราการไฟล์ของน้ำเลี้ยงมีค่ามากขึ้นจะทำให้ประสิทธิภาพของหม้อไอน้ำมีค่าเพิ่มขึ้นเท่ากับ 0.19 % เมื่ออัตราการไฟล์โดยมวลของน้ำเลี้ยงมีค่าเพิ่มขึ้นจาก 0.5 เป็น 1 kg/s

สำหรับการวิเคราะห์ที่ปริมาณของอากาศส่วนเกินของการเพาใหม่ เชือเพลิงภายใต้ในหม้อไอน้ำ พบว่า ถ้ามีการเพิ่มปริมาณอากาศส่วนเกินมากขึ้นจะทำให้อุณหภูมิของฟลู๊ก้าซที่ได้จากการเพาใหม่ลดลงหรือ ความร้อนที่ใช้ถ่ายเทให้กับน้ำเพื่อผลิตไอน้ำ มีค่า้อยลงทำให้ประสิทธิภาพโดยรวมของหม้อไอน้ำมีค่าลดลงและผลการวิเคราะห์ พนบว่าเชือเพลิงแต่ละชนิดที่ใช้ในการวิเคราะห์ให้อุณหภูมิเปล่าไฟที่ได้มีค่าใกล้เคียงกัน ตั้งแต่ 2,200 จนถึง 2,300 °C ที่ปริมาณอากาศส่วนเกินเท่ากับ 10 % สำหรับกรณีวิเคราะห์ในส่วนของอุณหภูมิจุดน้ำค้างของไอน้ำในฟลู๊ก้าซและอุณหภูมิจุดน้ำค้างของกรดซัลฟลูริก พนบว่าอุณหภูมิจุดน้ำค้างของกรดซัลฟลูริกมีความสำคัญต่อการกัดกร่อนของโลหะที่ปล่องไอเสีย การนำความร้อนจากฟลู๊ก้าซมาถ่ายเทความร้อนให้น้ำเลี้ยงควรพิจารณาอุณหภูมิจุดน้ำค้างของกรดซัลฟลูริกด้วยที่อุณหภูมิฟลู๊ก้าซไม่ควรจะต่ำกว่าอุณหภูมิจุดน้ำค้างของกรดซัลฟลูริกเนื่องจากจะเกิดการควบแน่นกล้ายเป็นผลของกรดซัลฟลูริกมากัดกร่อน

ผิวของเครื่องแลกเปลี่ยนความร้อนและผิวสัดป้องไอเสียได้ สำหรับการนำไปใช้เครื่องแลกเปลี่ยนความร้อนมาใช้เพื่อถ่ายเทความร้อนให้กับน้ำเลี้ยงหม้อไอน้ำนั้น ในกรณีของ บริษัท กรุงเทพผลิตเหล็ก จำกัด (มหาชน) ไม่เหมาะสมที่จะทำการติดตั้ง เนื่องจากอุณหภูมิฟลูก้าร์ที่ปล่องน้ำมีค่า 164°C ซึ่งมีค่าต่ำ เพราะหลังจากถ่ายเทความร้อนให้น้ำเลี้ยงแล้ว อุณหภูมิฟลูก้าร์บล่องจะเหลือเพียง 83°C ซึ่งต่ำกว่า อุณหภูมิจุดน้ำค้างของกรดซัลฟูริก จะทำให้ผิวของเครื่องแลกเปลี่ยนความร้อนและผิวของปล่องถูกกัดกร่อนได้รับความเสียหาย สำหรับในกรณีที่จำเป็นต้องใช้เครื่องแลกเปลี่ยนความร้อน ควรมีหัวฉนวนที่บล่องเพื่อความคุ้มอุณหภูมิที่ผิวบล่องให้สูงกว่าอุณหภูมิจุดน้ำค้างของกรดซัลฟูริกหรือมีการเปลี่ยนชนิดเชื้อเพลิงที่มีปริมาณกำมะถันต่ำกว่าหัวหรือมีการเคลือบผิวด้วยวัสดุทุนต่อการกัดกร่อน เช่น เทफロンหรือเปลี่ยนชนิดของวัสดุไปเป็นวัสดุที่ทนการกัดกร่อนจากการชนิดต่าง ๆ เช่น โลหะอัลลอยด์ AL29 – 4C เป็นต้น ทั้งนี้โดยต้องคำนึงถึงจุดคุ้มทุนด้วย เนื่องจากวัสดุบางชนิดเป็นวัสดุชนิดพิเศษมีราคาสูง

5. กิจกรรมประจำ

ขอขอบคุณบริษัท กรุงเทพผลิตเหล็ก จำกัด (มหาชน) ที่ให้ความอนุเคราะห์ด้านข้อมูลและผลการทดลองที่นำมาใช้กับงานวิจัยในครั้งนี้ รวมทั้งภาควิชาศึกษาและเครื่องกล คณะศึกษาศาสตร์ สถาบันเทคโนโลยีพระจอมเกล้าพระนครเหนือที่ได้ให้การสนับสนุน ทำให้งานวิจัยฉบับนี้ลุล่วงไปได้ด้วยดี คณะผู้วิจัยจึงขอขอบพระคุณอีกครั้งหนึ่ง ณ โอกาสนี้ด้วย

หนังสืออ้างอิง

- [1] อาจารย์ คุปตะบุตร. "การอนุรักษ์พลังงานในอุตสาหกรรม." โรงพยาบาลจุฬาลงกรณ์ 2539.
- [2] Mill, Anthony F. Heat Transfer, New York: Richard D. Irwin, Inc., 1992.
- [3] Smith, Eric M. Thermal design of heat exchanger, New York: John Wiley & Sons, Inc., 1997.
- [4] Yunus G. Thermodynamics, New York: McGraw-Hill, Inc., 1989.
- [5] Lammers, Thomas F. Steam Plant Operation, New York: McGraw-Hill, Inc., 1998.
- [6] Walker, G. Industrial heat exchanger, New York: Hemisphere Publishing Corporation, 1982.
- [7] Harry R. Taplin, Jr. Combustion Efficiency Table, The Fairmont Press Inc., 1935.
- [8] Ganapathy V. Manual Calculation Power Plant, New York: McGraw-Hill, 1990.
- [9] เอกสารประกอบ เรื่องน้ำมันเชื้อเพลิงและน้ำมันหล่อลื่น บริษัทเชลล์ แห่งประเทศไทย จำกัด
- [10] ฝ่ายปฏิบัติการผลิตไอน้ำ ข้อมูลบันทึกประจำวันหม้อไอน้ำ บริษัท กรุงเทพ ผลิตเหล็ก จำกัด (มหาชน), 2542.
- [11] ฝ่ายบริการข้อมูลสภาพภูมิอากาศ "ข้อมูลสภาพอากาศในเขต กรุงเทพมหานครและปริมณฑล ปี 2542" กรมอุตุนิยมวิทยา เขตบางนา กรุงเทพมหานคร
- [12] Les.K. Process Control and Optimization Handbook, London Gulf Publishing., 1980.
- [13] M.M.El-Wakil. Powerplant Technology, New York: McGraw-Hill, Inc., 1984.
- [14] ธนาคาร สุนทรียนาคแสง และ สำนิตย์ จันทร์ ภารวิเคราะห์ พารามิเตอร์และประเมินศักยภาพของระบบการนำความร้อนกลับมาใช้ใหม่จากโคนเดนเซทและแฟลชสตีม กรณีศึกษา: กระบวนการผลิตแผ่นเหล็กชุบสังกะสีของบริษัท กรุงเทพผลิตเหล็ก จำกัด (มหาชน), การประชุมเครือข่ายวิศวกรรมเครื่องกลแห่งประเทศไทย ครั้งที่ 14, 2-3 พฤษภาคม 2543 โรงแรมโนโวเทล เชียงใหม่, p.651-660.